

# ЭФФЕКТ БОРМАНА В РЕЗОНАНСНОЙ ДИФРАКЦИИ РЕНТГЕНОВСКОГО ИЗЛУЧЕНИЯ

А. П. Орешко\*

Московский государственный университет им. М. В. Ломоносова  
119991, Москва, Россия

Поступила в редакцию 24 января 2013 г.

Развивается динамическая теория резонансной (при энергии падающего излучения близкой к энергии края поглощения какого-либо элемента, входящего в состав исследуемого вещества) дифракции рентгеновского синхротронного излучения в двухволновом приближении в компланарной геометрии Лауэ при больших углах скольжения в совершенных кристаллах. Показано резкое уменьшение коэффициента поглощения в веществе при одновременном выполнении условий дифракции (эффекта Бормана) и проводится сопоставление теоретических и первых экспериментальных результатов. Проведенные вычисления показали возможность применения данной методики для исследования квадруполь-квадрупольного вклада в коэффициент поглощения.

DOI: 10.7868/S004445101308004X

## 1. ВВЕДЕНИЕ

Резонансная дифракция (РД) рентгеновского излучения (РИ) наблюдается при энергии падающего излучения, близкой к краю поглощения какого-либо элемента, входящего в состав кристалла, и является интенсивно развивающимся методом изучения свойств кристаллов [1–3]. Более доступным методом РД стал при появлении источников синхротронного излучения, сочетающих большую яркость и высокую степень поляризации излучения с возможностью выбора нужной длины волны.

Резонансные методы используются как в поглощении (EXAFS и XANES), так и в рассеянии (например, DAFS [4], магнитное рассеяние [5], RXS (рентгеновское резонансное рассеяние)). С их помощью были обнаружены либо подтверждены новые типы упорядочения в кристаллах, как, например, зарядовое и орбитальное упорядочения [6, 7], а также изучены более тонкие свойства, такие как тороидальные моменты [8], локальная хиральность атомов в centrosymmetric кристаллах [1, 9], магнитные квадрупольные моменты и др., которые невозможно, либо очень трудно исследовать с помощью каких-либо других методов [10].

Так как вблизи краев поглощения величина коэффициента поглощения резко увеличивается и, тем самым, уменьшается глубина проникновения излучения в вещество, для интерпретации полученных экспериментальных данных по РД используется кинематическое приближение теории дифракции [1, 2, 11].

Однако в работе [12] была показана возможность возникновения при РД в совершенных кристаллах динамического эффекта аномального прохождения, аналогичного эффекту Бормана в динамической теории дифракции РИ [13, 14] и эффекту Кагана–Афанасьева [15–17] — эффекту аномального прохождения  $\gamma$ -квантов, резонансно взаимодействующих с ядрами в кристалле.

В работах [18–21] эффект аномального прохождения при РД рентгеновского синхротронного излучения впервые наблюдался экспериментально в симметричной геометрии Лауэ в кубических кристаллах железо-иттриевого и гадолиний-галлиевого гранатов соответственно вблизи  $K$ -края поглощения железа и  $L$ -краев поглощения гадолиния.

В настоящей работе на основе решения уравнений Максвелла в среде с периодически меняющейся поляризуемостью решена задача динамического рассеяния РИ в условиях РД в компланарной геометрии Лауэ и проведено сравнение теоретических результатов с экспериментальными данными.

\*E-mail: ap.oreshko@physics.msu.ru

## 2. ДИНАМИЧЕСКАЯ ТЕОРИЯ РЕЗОНАНСНОЙ ДИФРАКЦИИ

Основой построения динамической теории дифракции в стационарных кристаллических средах является предположение о том, что материальные константы среды (тензоры диэлектрической  $\hat{\epsilon}$  и магнитной  $\hat{\mu}$  проницаемостей) в приближении линейной связи  $\mathbf{D} = \hat{\epsilon}\mathbf{E}$  и  $\mathbf{B} = \hat{\mu}\mathbf{H}$  являются трехмерно-периодическими функциями координат. Вместо тензора диэлектрической проницаемости оказывается удобно ввести тензор диэлектрической поляризуемости (ДП)  $\hat{\chi}$  ( $\hat{\epsilon} = 1 + \hat{\chi}$ ), а в немагнитных кристаллах можно положить  $\hat{\mu} = 1$  [22]. В этом случае тензор диэлектрической поляризуемости можно представить в виде разложения по векторам обратной решетки кристалла  $\mathbf{h}$  (временной зависимостью в стационарных средах пренебрегаем).

В указанном выше приближении из микроскопических уравнений Максвелла можно получить систему уравнений для фурье-амплитуд поля в совершенном кристалле с учетом анизотропии, пространственной и временной дисперсии [22]:

$$\left[ 1 - \frac{(\mathbf{k} \cdot \mathbf{k})}{\kappa_0^2} + \hat{\chi}^0(\omega, \mathbf{k}) \right] \mathbf{E}(\omega, \mathbf{k}) + \frac{1}{\kappa_0^2} ((\mathbf{E}(\omega, \mathbf{k}) \cdot \mathbf{k}) \cdot \mathbf{k}) + \sum_{\mathbf{h} \neq 0} \hat{\chi}^{\mathbf{h}}(\omega, \mathbf{k}) \mathbf{E}(\omega, \mathbf{k} + \mathbf{h}) = 0, \quad (1)$$

где  $\mathbf{E}(\omega, \mathbf{k})$  — фурье-компоненты напряженности электрического поля в кристалле,  $\kappa_0$  — величина волнового вектора в вакууме, а общие соотношения симметрии для величины ДП среды  $\chi_{ij}(\omega, \mathbf{k})$  рассмотрены в работе [23]. Второй член выражения (1) учитывает непоперечность поля.

Решение уравнений (1) с привлечением граничных условий и является основной задачей динамической теории дифракции РИ.

В традиционной рентгеновской кристаллооптике расчет поляризуемости проводится обычно в приближении сильной связи [23], в котором не учитываются явления анизотропии и пространственной дисперсии, т.е. поляризуемости  $\chi_{ij}$  считаются скалярами, а поля — поперечными. Однако вблизи краев поглощения явлением анизотропии пренебрегать нельзя. Как было показано в работе [1], в общем виде с учетом всех вкладов, возникающих как вблизи, так и вдали от краев поглощения, тензор ДП можно представить в виде

$$\chi_{ij} = (\chi_p + \chi'_p + i\chi''_p) \delta_{ij} + \chi_{ij}^{an} + \chi_{ij}^{mag},$$

где  $\chi_p$  вызван потенциальным вкладом в диэлектрические свойства кристалла;  $\chi'_p, \chi''_p$  — добавки, включающие в себя изотропную часть эффектов дисперсии и поглощения;  $\chi_{ij}^{mag}$  вызван нерезонансным магнитным рассеянием; а  $\chi_{ij}^{an}$  вызван анизотропным резонансным вкладом. Для рентгеновских длин волн можно считать пространственную дисперсию кристалла слабой и воспользоваться разложением тензора ДП по волновым векторам падающей ( $\mathbf{k}$ ) и рассеянной ( $\mathbf{k}'$ ) (дифрагированной) волн [1, 22, 24]:

$$\chi_{ij}^{an}(\omega, \mathbf{k}) = \chi_{ij}^{an}(\omega) + (\chi_{ijl}(\omega)k_l + \chi_{ijl}(\omega)k'_l) + \chi_{injl}(\omega)k'_n k_l + \dots \quad (2)$$

Как показано в работе [25], в силу малости анизотропного вклада в тензор диэлектрической поляризуемости, волновые векторы в разложении (2) можно считать волновыми векторами в вакууме.

Для нахождения амплитуд электрического и магнитного полей в среде уравнение (1) необходимо дополнить соответствующими граничными условиями, в общем виде состоящими в удовлетворении условий непрерывности тангенциальных составляющих электрического и магнитного полей,  $\mathbf{E}$  и  $\mathbf{H}$ , а также нормальных составляющих векторов электрической и магнитной индукции,  $\mathbf{D}$  и  $\mathbf{B}$  [26]. В теории дифракции из условия однородности решения вдоль поверхности эти условия записываются отдельно для проходящих и дифрагированных волн.

Решение задачи динамической теории в общем случае скользящей некомпланарной геометрии является весьма громоздкой задачей. Однако ситуация значительно упрощается в компланарной геометрии — в этом случае собственные поляризации дифракционной и граничной задачи совпадают [11] и граничная задача может решаться в скалярном виде отдельно для  $\sigma$ - и  $\pi$ -поляризаций излучения.

Эксперименты по резонансной дифракции рентгеновского излучения проводятся в двухволновом приближении в компланарной геометрии при больших углах скольжения (в симметричном случае углы скольжения могут достигать единиц и десятков градусов). В таком приближении ситуация еще больше упрощается: в этом случае можно пренебрегать непоперечностью электрического поля в кристалле [27], что позволяет записать систему уравнений (1) в случае двухволновой дифракции в простой координатной форме:

$$\delta_0 \mathbf{e}_0^j E_0^{(j)} - \hat{\chi}^0 \mathbf{e}_0^j E_0^{(j)} - \hat{\chi}^{-\mathbf{h}} \mathbf{e}_h^j E_h^{(j)} = 0, \quad (3a)$$

$$\delta_h \mathbf{e}_h^j E_h^{(j)} - \hat{\chi}^0 \mathbf{e}_h^j E_h^{(j)} - \hat{\chi}^{\mathbf{h}} \mathbf{e}_0^j E_0^{(j)} = 0, \quad (3б)$$

где  $E_{0,h}^{(j)}$  — скалярные амплитуды, а  $\mathbf{q}_0$  и  $\mathbf{q}_h = \mathbf{q}_0 + \mathbf{h}$  — волновые векторы соответственно проходящей  $\mathbf{E}_0 = \mathbf{e}_0^{(j)} E_0^{(j)}$  и дифрагированной  $\mathbf{E}_h = \mathbf{e}_h^{(j)} E_h^{(j)}$  волн в кристалле,  $\mathbf{e}_{0,h}^j$  ( $j = 1, 2$ ) — единичные векторы  $\sigma$ - и  $\pi$ -поляризации проходящего и дифрагированного излучения ( $\mathbf{e}_0^1 = \mathbf{e}_h^1$ ),  $\mathbf{e}_{0,h}^3$  — единичные векторы вдоль волновых векторов  $\mathbf{q}_{0,h}$ , а  $\delta_{0,h} = [(\mathbf{q}_{0,h}, \mathbf{q}_{0,h})/k_0^2] - 1$ . В формулах (3) проводится суммирование по повторяющимся индексам  $j = 1-3$ . Схематичное пространственное расположение векторов  $\mathbf{e}_{0,h}^j$  и  $\mathbf{q}_{0,h}$  приведено на рис. 1. Из условия поперечности полей следует, что  $E_{0,h}^{(3)} = 0$ . Введем обозначения  $C^{(i)} = (\mathbf{e}_0^i, \mathbf{e}_h^i) = \{1 (i = 1); \cos 2\theta (i = 2)\}$ ,  $C^{(3)} = \sin 2\theta$ , где  $\theta$  — угол между падающим излучением и отражающими плоскостями  $(hkl)$  и получим следующую основную систему уравнений динамической теории резонансной рентгеновской дифракции:

$$\begin{aligned} & (\delta_0 - \chi_{11}^0) E_0^{(1)} - C^{(1)} \chi_{11}^{-h} E_h^{(1)} - \\ & - \chi_{12}^0 E_0^{(2)} - (C^{(2)} \chi_{12}^{-h} - C^{(3)} \chi_{13}^{-h}) E_h^{(2)} = 0, \\ & - C^{(1)} \chi_{11}^h E_0^{(1)} + (\delta_h - \chi_{11}^0) E_h^{(1)} - \\ & - \chi_{12}^h E_0^{(2)} - (C^{(2)} \chi_{12}^0 - C^{(3)} \chi_{13}^0) E_h^{(2)} = 0, \\ & - \chi_{21}^0 E_0^{(1)} - \chi_{21}^{-h} E_h^{(1)} + (\delta_0 - \chi_{22}^0) E_0^{(2)} - \\ & - (C^{(2)} \chi_{22}^{-h} - C^{(3)} \chi_{23}^{-h}) E_h^{(2)} = 0, \\ & - (C^{(2)} \chi_{21}^h - C^{(3)} \chi_{31}^h) E_0^{(1)} - \\ & - (C^{(2)} \chi_{21}^0 - C^{(3)} \chi_{31}^0) E_h^{(1)} - \\ & - (C^{(2)} \chi_{22}^h - C^{(3)} \chi_{32}^h) E_0^{(2)} + \\ & + \left\{ (\delta_h - [\chi_{22}^0 C^{(2)2} + \chi_{33}^0 C^{(3)2}]) + \right. \\ & \left. + C^{(2)} C^{(3)} (\chi_{23}^0 + \chi_{32}^0) \right\} E_h^{(2)} = 0. \end{aligned} \quad (4)$$

Отличие системы уравнений (4) от хорошо известной основной системы динамической теории в случае скалярной восприимчивости среды состоит в наличии недиагональных элементов тензора ДП  $\chi_{ij}$ , что приводит к взаимосвязи  $\sigma$ - и  $\pi$ -компонент электрического поля, отсутствующей в случае скалярной ДП. В предположении того, что  $\chi$  — скалярная величина, система (4) совпадает с традиционной основной системой уравнений динамической теории [13].

Система основных уравнений имеет нетривиальное решение только в случае равенства нулю детерминанта этой системы

$$\det A = 0, \quad (5)$$

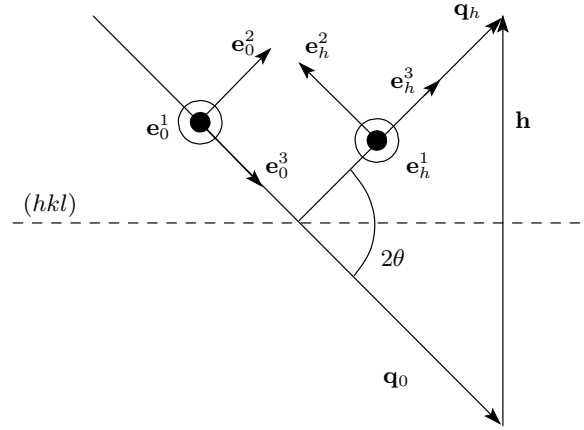


Рис. 1. Схема расположения единичных векторов  $\mathbf{e}_{0,h}^j$ , волновых векторов проходящего  $\mathbf{q}_0$  и дифрагированного  $\mathbf{q}_h$  излучения и вектора обратной решетки  $\mathbf{h}$ ,  $(hkl)$  — отражающая плоскость

где  $A$  — матрица коэффициентов  $a_{ij}$  (5). Дисперсионное уравнение (5) позволяет с привлечением граничных условий для волновых векторов на границе раздела сред найти комплексные величины волновых векторов  $\mathbf{q}_{0,h}$  в кристалле и, тем самым, рассмотреть процессы динамического дифракционного рассеяния рентгеновских лучей.

Как следует из (4), амплитуды проходящих и дифрагированных волн в кристалле связаны соотношениями:

$$\begin{aligned} E_{hj}^\sigma &= R_{hj}^\sigma E_{0j}^\sigma, & E_{hj}^\pi &= R_{hj}^\pi E_{0j}^\pi, \\ E_{0j}^\pi &= R_{0j}^{\sigma\pi} E_{0j}^\sigma, \end{aligned} \quad (6)$$

где

$$R_{hj}^\sigma = -\frac{c_{1j} + (c_{1j}^2 - 4c_{2j}c_{0j})^{1/2}}{2c_{2j}},$$

$$R_{hj}^\pi = -\frac{b_{21j} + b_{22j}R_{hj}^\sigma}{b_{23} + b_{24j}R_{hj}^\sigma},$$

$$R_{0j}^{\sigma\pi} = -\frac{a_{21} + a_{22j}R_{hj}^\sigma}{a_{23} + a_{24}R_{hj}^\pi},$$

и введены обозначения

$$\begin{aligned} b_{11j} &= a_{11j}a_{23} - a_{21}a_{13}, & b_{12j} &= a_{23}a_{12} - a_{22j}a_{13}, \\ b_{13j} &= a_{11j}a_{24} - a_{21}a_{14}, & b_{14j} &= a_{12}a_{24} - a_{22j}a_{14}, \\ b_{21j} &= a_{31}a_{23} - a_{21}a_{33j}, & b_{22j} &= a_{32}a_{23} - a_{22j}a_{33j}, \\ b_{23} &= a_{31}a_{24} - a_{21}a_{34}, & b_{24j} &= a_{32}a_{24} - a_{22j}a_{34}, \\ c_{0j} &= b_{11j}b_{23} - b_{13j}b_{21j}, \\ c_{1j} &= b_{11j}b_{24j} + b_{12j}b_{23} - b_{13j}b_{22j} - b_{21j}b_{14j}, \end{aligned}$$

$$c_{2j} = b_{12j}b_{24j} - b_{14j}b_{22j}.$$

Вдали от условий резонанса, т. е. в случае, когда недиагональными элементами тензора ДП можно пренебречь, соотношения (6) принимают вид

$$R_{hj}^\sigma = -\frac{a_{11j}}{a_{12}}, \quad R_{hj}^\pi = -\frac{a_{33j}}{a_{34}}, \quad R_0^{\sigma\pi} = 0,$$

что совпадает с результатами традиционной динамической теории.

Из граничных условий следует, что волновой вектор проходящей в среде волны  $\mathbf{q}_0$  получает приращение только вдоль нормали к поверхности (направленной в глубь среды)  $\mathbf{n}$ , т. е.

$$\mathbf{q}_0 = \mathbf{k}_0 + k_0\varepsilon\mathbf{n}, \quad (7)$$

где  $\varepsilon$  — так называемая аккомодация, подлежащая дальнейшему определению, а  $\mathbf{k}_0$  — волновой вектор падающей на кристалл волны ( $k_0 = 2\pi/\lambda$ ).

Дисперсионное уравнение (5) является уравнением четвертой степени относительно величины аккомодации  $\varepsilon$ . Тем самым, внутри кристалла могут распространяться четыре проходящие и четыре дифрагированные волны каждой поляризации с амплитудами  $E_{gj}^{\sigma,\pi}$ . При этом в случае толстого кристалла физический смысл имеют только решения, обладающие положительной мнимой частью  $\text{Im} \varepsilon_j > 0$ . На основании анализа [28], только два корня (5) имеют положительную мнимую часть, а два — отрицательную.

С учетом (7) и  $\mathbf{q}_h = \mathbf{q}_0 + \mathbf{h}$ , выражения для  $\delta_0$ ,  $\delta_h$  примут вид (при больших углах падения членами более высокого порядка малости  $\varepsilon^2$  пренебрегаем):

$$\delta_0 = 2\gamma_0\varepsilon, \quad \delta_h = 2\gamma_{h0}\varepsilon - \alpha,$$

где  $\gamma_0 = \cos(\mathbf{k}_0 \cdot \mathbf{n})$ ,  $\gamma_{h0} = \cos((\mathbf{k}_0 + \mathbf{h}) \cdot \mathbf{n})$  — направляющие косинусы соответственно для падающей и дифрагированной волн. Если  $\varphi_0$  — скользящий угол падения, тогда

$$\gamma_0 = \sin \varphi_0, \quad \gamma_{h0} = \gamma_0 - \psi_B,$$

где  $\psi_B = 2 \sin \psi \sin \theta_B$  — эффективный параметр наклона отражающих плоскостей, характеризующий угол наклона отражающих плоскостей по отношению к нормали  $\mathbf{n}$  ( $z$  — проекция вектора обратной решетки  $h_z = -h \sin \psi$ ),  $\theta_B$  — угол Брэгга.

Таким образом, для решения уравнений (4), (5) нам необходимо предварительно вычислить тензор ДП и далее считать его постоянным. Для решения этой проблемы можно воспользоваться различными программными продуктами, например FDMNES [29, 30].

### 3. КОМПЛАНАРНАЯ ГЕОМЕТРИЯ ЛАУЭ

Рассмотрим задачу о дифракционном отражении плоской монохроматической волны  $\mathbf{E}_0 \exp(i\mathbf{k}_0 \cdot \mathbf{r})$  от идеального монокристалла конечной толщины  $d$  в условиях РД в компланарной геометрии Лауэ. Излучение падает из вакуума под углом скольжения  $\varphi_0 \gg \varphi_C$  ( $\varphi_C = \arcsin(|\chi_0|^{1/2})$  — критический угол полного внешнего отражения) к поверхности так, что имеет место дифракционное отражение от атомно-кристаллических плоскостей, составляющих угол  $\psi$  с нормалью  $\mathbf{n}$ , направленной в глубь кристалла вдоль оси  $z$ .

Поле в вакууме над поверхностью кристалла состоит из одной падающей волны с амплитудой  $A_0$ :

$$\mathbf{E}_{vac}(\mathbf{r}) = \mathbf{A}_0 \exp(i\mathbf{k}_0 \cdot \mathbf{r}).$$

Рентгеновская волна возбуждает в кристалле когерентную суперпозицию проходящей и дифрагированной волн. Как отмечалось выше, дисперсионное уравнение (5) в этом случае является уравнением четвертой степени, и при рассмотрении поля в кристаллической пластинке нужно учитывать все корни дисперсионного уравнения:

$$\mathbf{E}_{cr}(\mathbf{r}) = \sum_{j=1}^4 [\mathbf{E}_{0j} \exp(i\mathbf{q}_{0j} \cdot \mathbf{r}) + \mathbf{E}_{hj} \exp(i\mathbf{q}_{hj} \cdot \mathbf{r})],$$

где  $E_{0,h}$  — амплитуды,  $\mathbf{q}_{0,h}$  — волновые векторы проходящей и дифрагированной волн в кристалле. Поле в вакууме «под кристаллом» состоит из проходящей волны с амплитудой  $\mathbf{B}_0$  и волновым вектором  $\mathbf{b}_0$  и дифрагированной волны с амплитудой  $\mathbf{B}_h$  и волновым вектором  $\mathbf{b}_h$ :

$$\mathbf{E}_{vac}^{(2)}(\mathbf{r}) = \mathbf{B}_0 \exp(i\mathbf{b}_0 \cdot \mathbf{r}) + \mathbf{B}_h \exp(i\mathbf{b}_h \cdot \mathbf{r}).$$

В геометрии Лауэ волновые векторы волн в вакууме связаны соотношениями  $|\mathbf{k}_0| = |\mathbf{b}_0| = |\mathbf{b}_h| = k_0$ ,  $k_{0z} = b_{0z} = \gamma_0 k_0$ ,  $b_{hz} = \gamma_h k_0$ , где  $\varphi_h$  — угол выхода дифрагированного излучения в вакуум по отношению к «выходной» поверхности кристалла. Отличительной особенностью геометрии Лауэ является тот факт, что  $\gamma_{h0} > 0$ .

Введем обозначения  $f_{0(h)} = \exp\{ib_{0(h)z}d\}$ ,  $g_{0(h)j} = \exp\{iq_{0(h)jz}d\}$ , и учтем связь между амплитудами дифрагированных и проходящих волн в кристалле (6). В этом случае граничные условия непрерывности тангенциальных компонент электрических и магнитных полей на границе вакуум–кристалл и кристалл–вакуум примут вид

$$A_0^\sigma = \sum_{j=1}^4 E_{0j}^\sigma, \quad 0 = \sum_{j=1}^4 R_{hj}^\sigma E_{0j}^\sigma, \quad (8)$$

$$A_0^\pi = \sum_{j=1}^4 R_{0j}^{\sigma\pi} E_{0j}^\sigma, \quad 0 = \sum_{j=1}^4 R_{hj}^\pi R_{0j}^{\sigma\pi} E_{0j}^\sigma,$$

$$\begin{aligned} \sum_{j=1}^4 E_{0j}^\sigma g_{0j} &= B_0^\sigma f_0, & \sum_{j=1}^4 R_{hj}^\sigma E_{0j}^\sigma g_{hj} &= B_h^\sigma f_h, \\ \sum_{j=1}^4 R_{0j}^{\sigma\pi} E_{0j}^\sigma g_{0j} &= B_0^\pi f_0, & \\ \sum_{j=1}^4 R_{hj}^\pi R_{0j}^{\sigma\pi} E_{0j}^\sigma g_{hj} &= B_h^\pi f_h, \end{aligned} \quad (9)$$

а решение системы граничных условий (8), (9) для амплитуд дифрагированных и прошедших волн — вид

$$\begin{aligned} B_0^\sigma &= R_{32}A_0^\sigma + R_{31}A_0^\pi, & B_0^\pi &= R_{42}A_0^\sigma + R_{41}A_0^\pi, \\ B_h^\sigma &= R_{52}A_0^\sigma + R_{51}A_0^\pi, & B_h^\pi &= R_{62}A_0^\sigma + R_{61}A_0^\pi, \end{aligned} \quad (10)$$

где введены обозначения

$$G_{4j} = -\frac{R_{hj}^\sigma}{R_{h4}^\sigma}, \quad G_{3j} = -\frac{R_{hj}^\pi R_{0j}^{\sigma\pi} + R_{h4}^\pi R_{04}^{\sigma\pi} G_4}{R_{h3}^\pi R_{03}^{\sigma\pi} + R_{h4}^\pi R_{04}^{\sigma\pi} G_4},$$

$$F_{4j} = G_{4j} + G_{43}G_{3j}, \quad P_{1r} = 1 + G_{3r} + F_{4r},$$

$$P_{1r} = R_{0r}^{\sigma\pi} + R_{03}^{\sigma\pi}G_{3r} + R_{04}^{\sigma\pi}F_{4r} \quad (r = 1, 2),$$

$$P_{3r} = (g_{0r} + g_{03}G_{3r} + g_{04}F_{4r})/f_0,$$

$$P_{4r} = (R_{0r}^{\sigma\pi}g_{0r} + R_{03}^{\sigma\pi}g_{03}G_{3r} + R_{04}^{\sigma\pi}g_{04}F_{4r})/f_0,$$

$$P_{5r} = (R_{0r}^\sigma g_{hr} + R_{0r}^\sigma g_{h3}G_{3r} + R_{0r}^\sigma g_{h4}F_{4r})/f_h,$$

$$P_{6r} = (R_{hr}^\pi R_{0r}^{\sigma\pi} g_{hr} + R_{h3}^\pi R_{03}^{\sigma\pi} g_{h3}G_{3r} + R_{h4}^\pi R_{04}^{\sigma\pi} g_{h4}F_{4r})/f_h,$$

$$T_0 = P_{11}P_{22} - P_{21}P_{12},$$

$$T_{uv} = (-1)^v(Q_{u1}Q_{v2} - Q_{u2}Q_{v1}),$$

$$R_{uv} = T_{uv}/T_0 \quad (u = 3, 4; \quad v = 1, 2),$$

$$T_{wv} = (-1)^v(P_{w1}Q_{v2} - Q_{w2}Q_{v1}),$$

$$R_{wv} = T_{wv}/T_0 \quad (w = 5, 6; \quad v = 1, 2).$$

Еще больше задача упрощается при рассмотрении дифракционного отражения при больших углах скольжения от совершенного монокристалла, обладающего кристаллической решеткой с кубической симметрией. В этом случае фурье-компоненты тензора диэлектрической поляризуемости примут вид

$$\hat{\chi}^{0,\pm h} = \chi^{0,\pm h} \delta_{ij} + \chi_{ij}^{0,\pm h} \delta_{ij} \quad (i, j = 1-3),$$

а под фурье-компонентами  $\chi_{ij}^{0,\pm h}$  будем понимать не только диполь-дипольный, но и диполь-квадрупольный, квадруполь-квадрупольный и т. д. вклады:

$$\begin{aligned} \chi_{ij}^{0,\pm h} &= \chi_{ij}^{dd0,\pm h} + (\chi_{ijl} k_l + \chi_{ijl} k'_l)^{0,\pm h} + \\ &+ (\chi_{ijnl} k'_n k_l)^{0,\pm h} + \dots \end{aligned}$$

Основная система уравнений динамической теории примет вид

$$(\delta_0 - \chi^0)E_0^{(1)} - \chi_{11}^0 E_0^{(1)} - \chi^{-h} E_h^{(1)} - \chi_{11}^{-h} E_h^{(1)} = 0,$$

$$-\chi^h E_0^{(1)} - \chi_{11}^h E_0^{(1)} + (\delta_h - \chi^0)E_h^{(1)} - \chi_{11}^0 E_h^{(1)} = 0,$$

$$\begin{aligned} (\delta_0 - \chi^0)E_0^{(2)} - \chi_{22}^0 E_0^{(2)} - C^{(2)} \chi^{-h} E_h^{(2)} - \\ - C^{(2)} \chi_{22}^{-h} E_h^{(2)} = 0, \end{aligned}$$

$$\begin{aligned} C^{(2)} \chi^h E_0^{(2)} - C^{(2)} \chi_{22}^h E_0^{(2)} + (\delta_h - \chi^0)E_h^{(2)} - \\ - (\chi_{22}^0 C^{(2)2} - \chi_{33}^0 C^{(3)2}) E_h^{(2)} = 0, \end{aligned}$$

где волны с разными состояниями поляризации разделяются, а дисперсионное уравнение становится уравнением второй степени (т.е. в кристалле распространяются только две проходящие и две дифрагированные волны), его решения определяются простым аналитическим выражением (для  $\sigma$ -поляризации падающей волны):

$$\begin{aligned} \varepsilon_{1,2} &= \left[ \{ \eta^0(1-b) - ab \} \pm \right. \\ &\left. \pm \left\{ [\eta^0(1+b) + ab]^2 - 4b\eta^h \eta^{-h} \right\}^{1/2} \right] / 4\gamma_0, \end{aligned}$$

где  $\eta^{0,\pm h} = \chi^{0,\pm h} + \gamma_{11}^{0,\pm h}$ , а  $b = \gamma_0/|\gamma_{h0}|$  — фактор асимметрии.

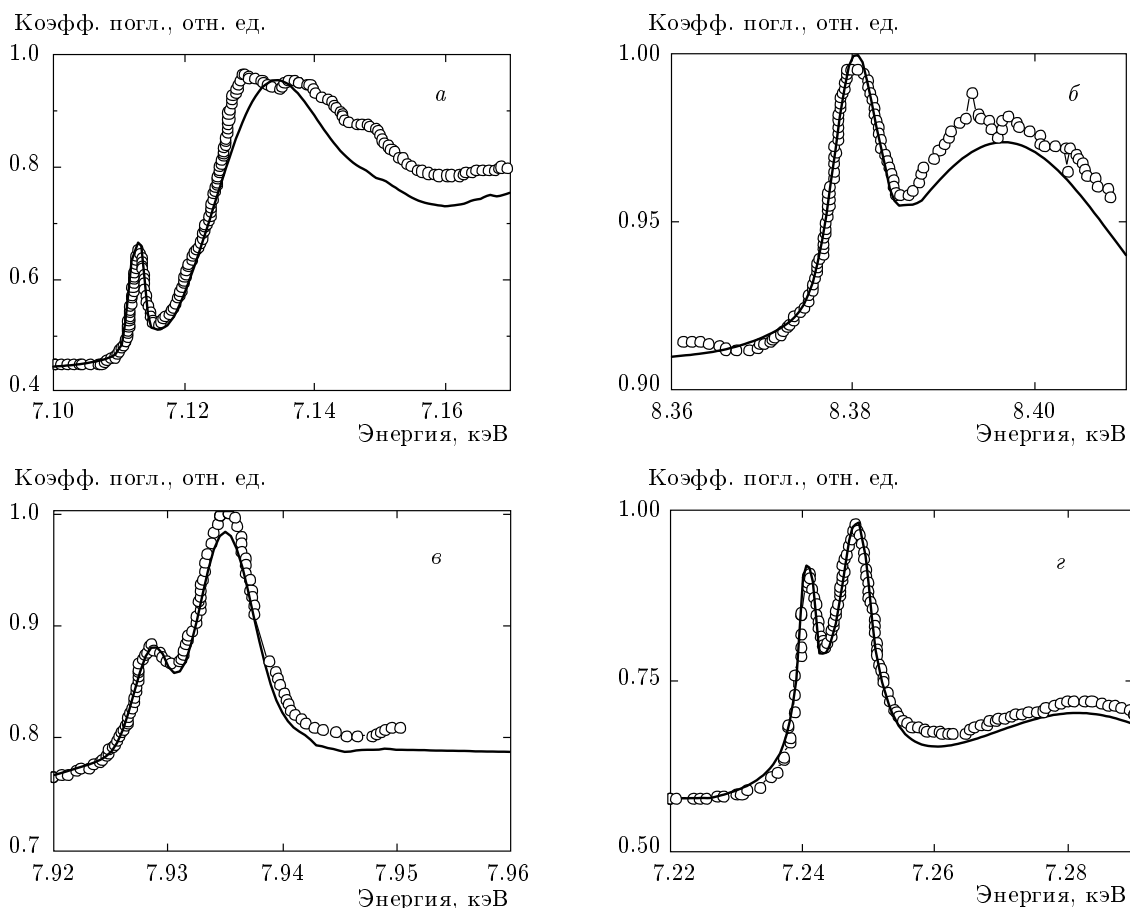
В случае симметричной дифракции ( $b = -1$ ) выражение для величин аккомодации еще упрощается и принимает вид

$$\varepsilon_{1,2} = \left[ \{ 2\eta^0 - \alpha \} \pm \{ \alpha^2 + 4\eta^h \eta^{-h} \}^{1/2} \right] / 4.$$

Каждое из волновых полей затухает по мере прохождения в глубь кристалла со своим интерференционным коэффициентом поглощения  $\mu$  [14, 31]

$$\mu_{1,2} = \frac{2\pi}{\lambda} \text{Im} \varepsilon_{1,2}.$$

Таким образом, одно из волновых полей будет ослабляться с коэффициентом меньшим, чем нормальный коэффициент поглощения  $\mu_{1,2} = (\pi/\lambda) \text{Im}(\eta^0)$ , а другое — с большим. При этом волновое поле, соответствующее меньшему коэффициенту поглощения, имеет такое пространственное распределение, что на атомные плоскости приходятся узлы суммарного поля, что и объясняет физическую природу уменьшения поглощения — эффекта Бормана.



**Рис. 2.** Экспериментальная и расчетная зависимости коэффициента поглощения вблизи края поглощения для отражения (008) в кристаллах YIG (толщина 0.5 мм) (*а* — *K*-край поглощения Fe) и GGG (толщина 0.57 мм) (*б* — *L*<sub>1</sub>-край поглощения Gd, *в* — *L*<sub>2</sub>-край поглощения Gd, *г* — *L*<sub>3</sub>-край поглощения Gd) от энергии падающего излучения: ○ — экспериментальные данные [19], сплошная кривая — расчет

#### 4. ЭФФЕКТ БОРМАНА В РЕЗОНАНСНОЙ ДИФРАКЦИИ

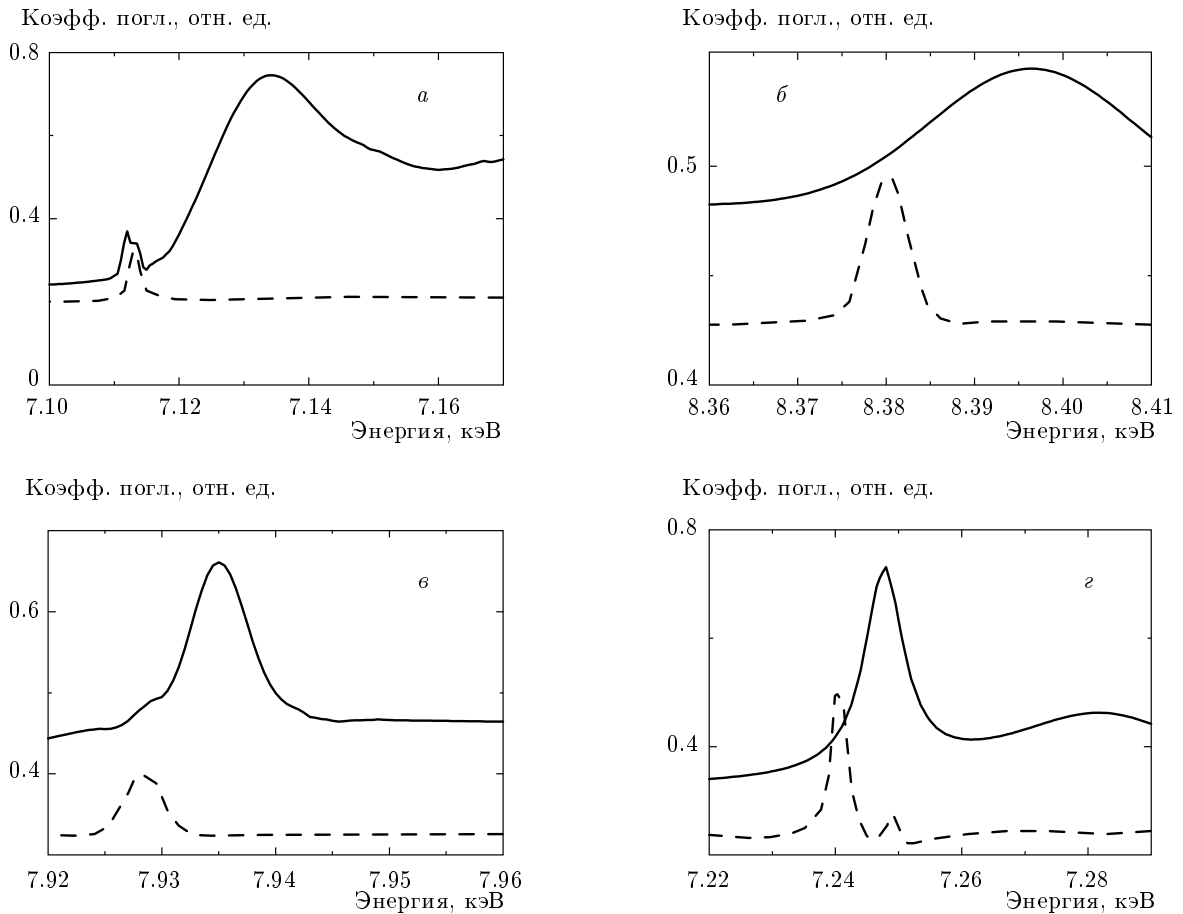
Для количественного описания эффекта Бормана проведем вычисление интенсивности прошедшей волны  $|B_0^\sigma|^2$  (10) в симметричной геометрии Лауэ для  $\sigma$ -поляризованного падающего РИ для отражения (008) излучения в железо-иттриевом ( $Y_3Fe_5O_{12}$ -YIG) и гадолиний-галлиевом ( $Gd_3Ga_5O_{12}$ -GGG) гранатах (пространственная группа  $Ia\bar{3}d$ ) с толщинами соответственно 0.5 мм и 0.57 мм вблизи *K*-края поглощения в железе и *L*-краев поглощения в гадолинии, и проведем сравнение полученных результатов с экспериментом [18–21]. При таком выборе толщин *t* кристаллов YIG и GGG выполняется условие  $\mu t > 10$ , где  $\mu$  — коэффициент поглощения.

На рис. 2 представлены нормированные результаты вычисления коэффициента поглощения

$$\mu = -\frac{1}{t} \ln \frac{I}{I_0},$$

где  $I_0$  — интенсивность падающего излучения ( $I_0 = 1$ ),  $I$  — интенсивность прошедшего через кристалл излучения  $|B_0^\sigma|^2$ . Предварительно вычислялся тензор ДП для идеального кристалла без учета колебаний атомов около их положения равновесия (т. е. при  $T = 0$  К) с учетом всех вкладов до квадруполь-квадрупольного включительно [32].

Видно, что результаты вычисления находятся в хорошем соответствии с результатами эксперимента. Так как эксперимент проводился при конечных температурах, неизбежно присутствовали тепловые колебания атомов, что приводит к смещению атомов из узлов и пучностей поля и проявляется в увеличении коэффициента поглощения относительно идеального случая (экспериментальные значения выше теоретических, что наиболее ярко заметно на хвостах кривых).



**Рис. 3.** Расчетные зависимости диполь-дипольного и квадруполь-квадрупольного вкладов в коэффициент поглощения для отражения (008) в кристаллах YIG (толщина 0.5 мм) (*а* — *K*-край поглощения Fe) и GGG (толщина 0.57 мм) (*б* — *L*<sub>1</sub>-край поглощения Gd, *в* — *L*<sub>2</sub>-край поглощения Gd, *г* — *L*<sub>3</sub>-край поглощения Gd) от энергии падающего излучения: сплошная кривая — диполь-дипольный вклад, штриховая кривая — квадруполь-квадрупольный вклад

На рис. 3 приведены зависимости диполь-дипольного и квадруполь-квадрупольного вкладов в коэффициент поглощения (диполь-квадрупольный вклад в коэффициент поглощения для кубически симметричных кристаллов равен нулю) с учетом дифракции для отражения (008) в кристаллах YIG и GGG от энергии падающего излучения. Видно, что в этом случае величины диполь-дипольного и квадруполь-квадрупольного вкладов сопоставимы по величине, а положение и величина максимума квадруполь-квадрупольного вклада соответствует максимуму полного коэффициента поглощения в предкраевой области.

На рис. 4 схематично представлено расчетное распределение полного поля внутри кристалла.

Сильно поглощающие атомы — Ga/Fe (светло-серые большие кружки на рис. 4) и Gd/Y (темно-серые большие кружки) находятся в точках с нулевой амплитудой поля, но максимальным градиентом изменения поля. В то же самое время слабо поглощающие атомы O (маленькие светлые кружки) находятся в точках с ненулевой амплитудой поля. Таким образом, обычно доминирующий диполь-дипольный вклад в поглощение (в данном случае в него дают вклад только атомы кислорода) уменьшается и становится сопоставимым с квадруполь-квадрупольным вкладом (в него дают вклад тяжелые атомы), что приводит к возникновению дополнительной структуры краев поглощения и проявлению заметного максимума в предкраевой области.

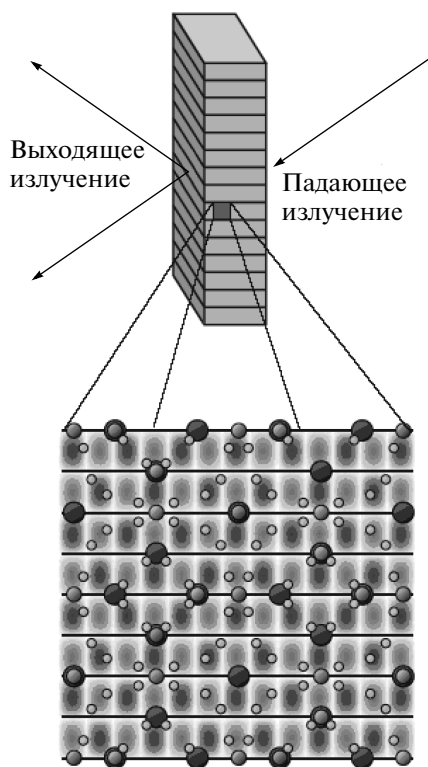


Рис. 4. Схематическая структура полного поля в кристаллах граната

Это заметным образом проявляется на энергетической зависимости коэффициента поглощения и легко может быть определено экспериментально, что позволяет нам исследовать, например,  $3d$ -состояния в переходных металлах по  $K$ -краям поглощения и  $4f$ -состояния в редкоземельных элементах по  $L$ -краям поглощения.

## 5. ЗАКЛЮЧЕНИЕ

Суммируя все сказанное выше, можно говорить о том, что эффект Бормана в резонансной дифракции рентгеновского излучения — мощный инструмент для исследования природы предкраевых пиков в ближней тонкой структуре края поглощения рентгеновских лучей (XANES). Так как квадрупольный вклад в общий коэффициент поглощения увеличивается в спектрах поглощения по Борману, этот способ выигрывает по сравнению со способами, где предлагается проводить сравнение слабых пиков в традиционных спектрах XANES. Изучение квадрупольного вклада в поглощение важно для исследования свойств основного состояния вещества, например переходных  $3d$ -металлов и соединений лантанидов.

Однако следует отметить, что наряду с простой экспериментальной техникой, вычисление тензора ДП все еще представляет значительные трудности и усложняет вычисления в рамках динамической теории резонансной дифракции РИ.

Автор выражает глубокую благодарность М. А. Андреевой, В. А. Бушуеву, В. Е. Дмитриенко и Е. Н. Овчинниковой за интерес к работе и плодотворные обсуждения полученных результатов. Работа выполнена при финансовой поддержке РФФИ (гранты №№ 12-02-00924-а, 13-02-00760-а). Вычисления выполнены на суперкомпьютерном комплексе СКИФ МГУ.

## ЛИТЕРАТУРА

1. V. E. Dmitrienko, K. Ishida, A. Kirfe et al., *Acta Cryst. A* **61**, 481 (2005).
2. J. L. Hodeau, V. Favre-Nicolin, S. Bos et al., *Chem. Rev.* **101**, 1843 (2001).
3. S. W. Lovesey, E. Balcar, K. S. Knight et al., *Phys. Rep.* **411**, 233 (2005).
4. H. Stragier, J. O. Cross, J. J. Rehr et al., *Phys. Rev. Lett.* **69**, 3064 (1992).
5. S. W. Lovesey and S. P. Collins, *X-ray Scattering and Absorption by Magnetic Materials*, Oxford Series on Synchrotron Radiation, Clarendon Press, Oxford (1996).
6. D. J. Huang, H.-J. Lin, J. Okamoto et al., *Phys. Rev. Lett.* **96**, 096401 (2006).
7. Y. Murakami, H. Kawada, H. Kawata et al., *Phys. Rev. Lett.* **80**, 1932 (1998).
8. J. Goulon, A. Rogalev, F. Wilhelm et al., *ЖЭТФ* **124**, 445 (2003).
9. J. Kokubun, A. Watanabe, M. Uehara et al., *Phys. Rev. B* **78**, 115112 (2008).
10. S. DiMatteo, Y. Joly, and C. R. Natoli, *Phys. Rev. B* **72**, 144406 (2007).
11. В. А. Беляков, В. Е. Дмитриенко, *УФН* **158**, 679 (1989).
12. А. П. Орешко, *Вестн. МГУ. Сер. 3. Физика. Астрономия.* № 3, 49 (2007).
13. З. Г. Пинскер, *Рентгеновская кристаллооптика*, Наука, Москва (1982).



14. А. М. Афанасьев, П. А. Александров, Р. М. Имам-ов, *Рентгенодифракционная диагностика субмикронных слоев*, Наука, Москва (1989).
15. А. М. Афанасьев, Ю. Каган, ЖЭТФ **48**, 327 (1965).
16. А. М. Афанасьев, Ю. Каган, ЖЭТФ **49**, 1504 (1965).
17. В. А. Беляков, УФН **115**, 552 (1975).
18. R. F. Pettifer, S. P. Collins, and D. Laundry, *Nature* **454**, 196 (2008).
19. S. P. Collins, M. Tolkiehn, R. F. Pettifer et al., *J. Physics: Conference Series*. **190**, 012045 (2009).
20. M. Tolkiehn, T. Laurus, and S. P. Collins, *Phys. Rev. B* **184**, 241101(R) (2011).
21. S. P. Collins, M. Tolkiehn, T. Laurus et al., *Eur. Phys. J. Special Topics*. **208**, 75 (2012).
22. В. М. Агранович, В. Л. Гинзбург, *Кристаллооптика с учетом пространственной дисперсии и теория экситонов*, Наука, Москва (1979).
23. А. В. Колпаков, В. А. Бушуев, Р. Н. Кузьмин, УФН **126**, 479 (1978).
24. M. Blume, in *Resonant Anomalous X-Ray Scattering*, ed. by G. Materlik, C. J. Sparks, and K. Fisher, Elsevier, Amsterdam (1994), p. 495.
25. А. П. Орешко, Вестн. МГУ. Сер. 3. Физика. Астрономия. (2013), в печати.
26. Л. Д. Ландау, Е. М. Лифшиц, *Электродинамика сплошных сред*, Наука, Москва (1992).
27. М. А. Андреева, С. Ф. Борисова, Р. Н. Кузьмин, *Опт. и спектр.* **48**, 367 (1980).
28. В. А. Бушуев, А. П. Орешко, *Зеркальное отражение рентгеновских лучей в условиях скользящей дифракции*, Изд-во МГУ, Москва (2002).
29. [http://www-cristallo.poly.cnrs-gre.fr/Themes\\_de\\_recherche/Simul/](http://www-cristallo.poly.cnrs-gre.fr/Themes_de_recherche/Simul/).
30. O. Bunau and Y. Joly, *J. Phys.: Condens. Matter*. **21**, 345501 (2009).
31. В. А. Бушуев, Р. Н. Кузьмин, *Вторичные процессы в рентгеновской оптике*, Изд-во МГУ, Москва (1990).
32. А. М. Колчинская, А. Н. Артемьев, В. Е. Дмитриенко и др., *Кристаллография* **51**, 222 (2006).